

Initiation à la Bioinformatique



Daniel Gautheret
ESIL, Université de la Méditerranée

Bioinformatique

Deux définitions possibles

- ★ Applications de l'informatique à la biologie (en anglais: *computational biology*)
 - ★ Analyse de l'information biologique (en anglais: *bioinformatics*)
- 

C'est cette bioinformatique que nous abordons ici.

L'information est:

- ★ La séquence
- ★ La structure
- ★ La fonction, les interactions etc.

Pour quoi faire?

La bioinformatique est d'abord utilisée pour identifier les gènes, étudier leur fonction et leur évolution.

- ★ "Fonction" peut être entendu dans un sens général (ATPase, RNA-Polymérase, etc.) ou dans un sens beaucoup plus précis, avec identification des résidus essentiels, éléments structuraux, sites de fixation aux ligands, site catalytiques, etc.

Par exemple...

- ★ Pour chercher chez un organisme modèle un gène homologue à un gène humain d'intérêt
- ★ Pour rechercher des gènes liés à la pathogénicité
- ★ Pour concevoir une expérience de mutagenèse dirigée sur une protéine
- ★ Pour trouver tous les gènes présents sur un chromosome/ génome/contig nouvellement séquencé

En fait, la liste des questions est illimitée

La déduction par homologie, ou le « dogme central » de la bioinformatique

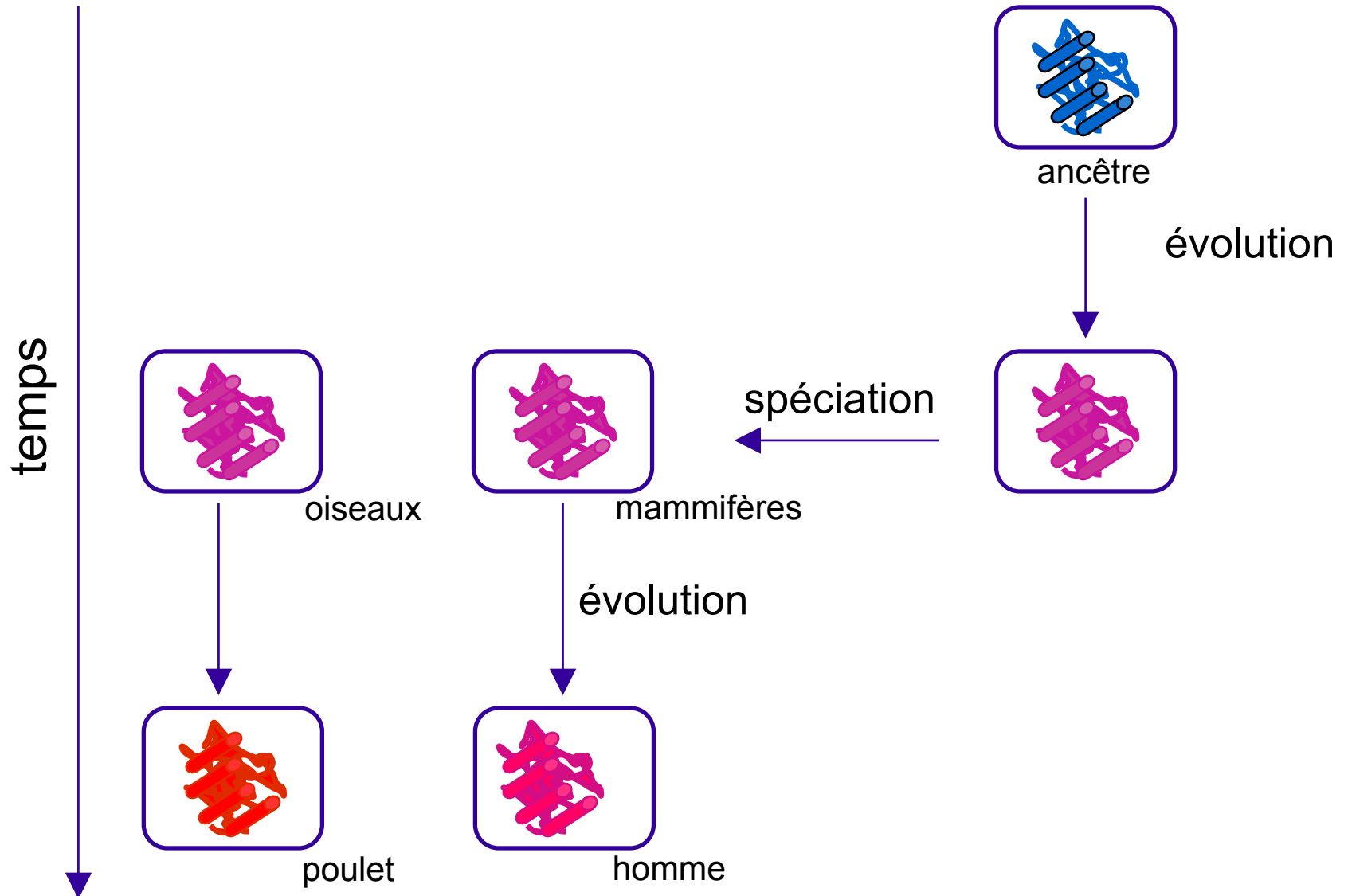
- ★ Si la bioinformatique « marche », c'est parce que l'évolution des gènes laisse une trace parfaitement visible lorsque l'on compare leur séquence
 - Evolution des gènes=mutations, insertions, délétion
 - Les gènes des organismes modernes sont issus de remaniement de gènes ancestraux: on peut donc déduire la fonction de la plupart des gènes par comparaison avec les gènes « homologues » d'autres espèces.
 - Les régions fonctionnelles des gènes (sites catalytique, de fixation, etc.) sont soumises à sélection. Elles sont relativement préservées par l'évolution car des mutations trop radicales sont désavantageuses.
 - Les régions non fonctionnelles ne subissent aucune pression de sélection et divergent rapidement à mesure que s'accumulent les mutations.

L'homologie de séquence

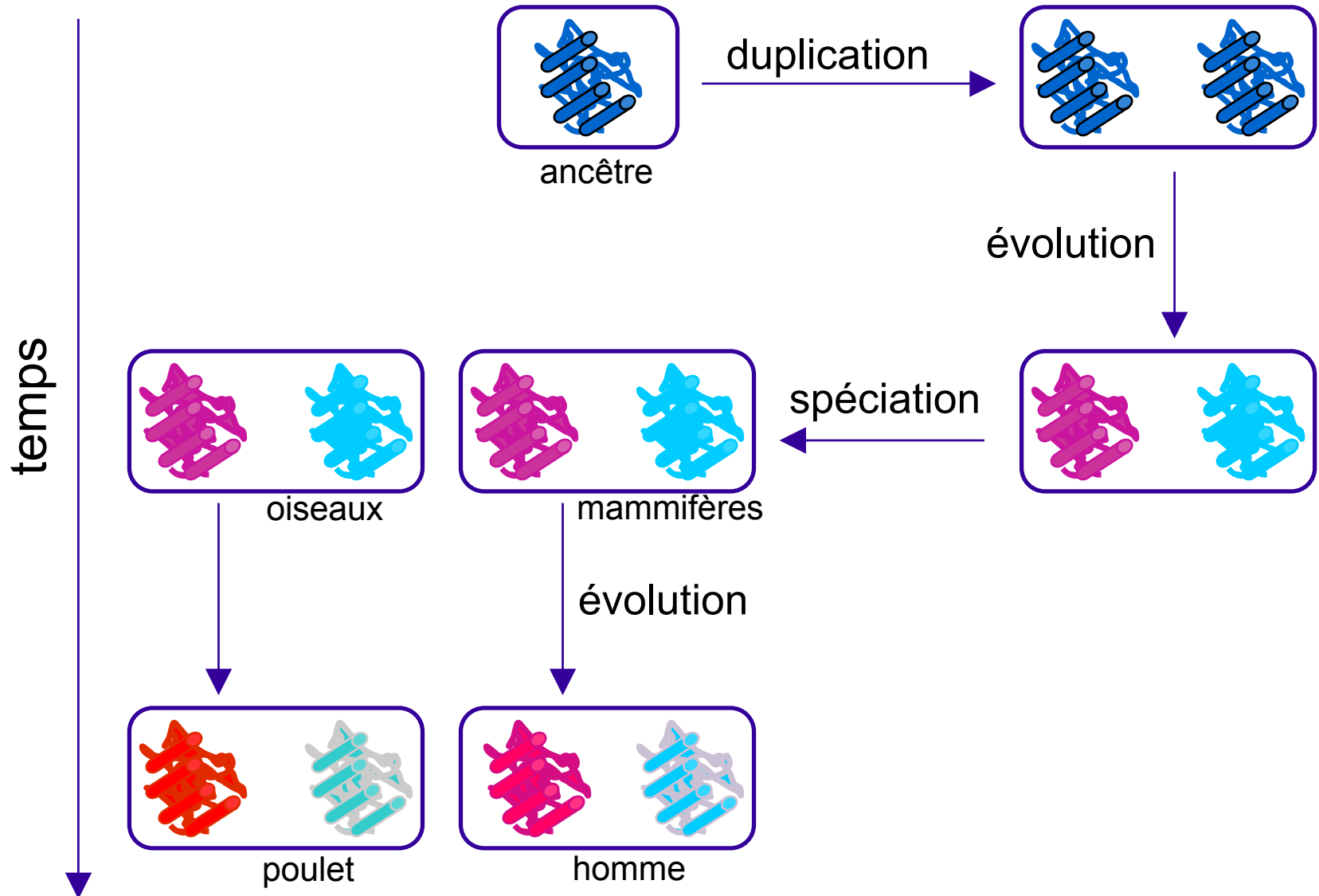
En bioinformatique: Homologie = parenté = ancêtre commun

- ★ Le bras humain est homologue à l'aile de l'oiseau
- ★ Le bras humain n'est pas homologue à l'aile de la mouche
- ★ On est homologue ou on ne l'est pas.
- ★ Donc on ne dit pas: "très homologue", "faible homologie", « 28% d'homologie », etc.
- ★ Pour une notion quantitative, on parle de **similitude** ("très similaire", etc.) ou d'**identité** (28% d'identité)

Evolution d'un gène au cours de l'évolution

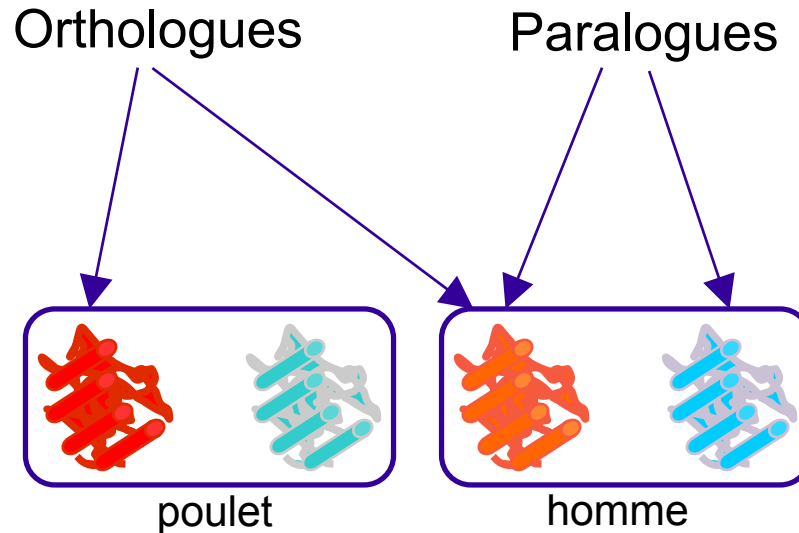


Apparition de nouveaux gènes par duplication



Paralogues et orthologues (Fitsch, 1970)

- ★ Homologues: gènes provenant d'un ancêtre commun
- ★ Paralogues: gènes homologues issus d'un phénomène de duplication
- ★ Orthologues: gènes homologues issus de la spéciation
- ★ Transfert horizontal: par endosymbiontes, etc. Fitch a aussi introduit "xénologue" pour évoquer ce cas.



Fonction et homologie

- ❖ Homologie n'implique pas même fonction: par exemple l'aile de l'oiseau et le bras humain n'ont pas la même fonction
- ❖ Des orthologues rapprochés (p. ex. homme/souris) ont le plus souvent la même fonction dans l'organisme.
- ❖ Des orthologues distants (p. ex. homme/mouche) ont plus rarement le même rôle *phénotypique*, mais peuvent exercer le même rôle dans une *voie* donnée.
- ❖ Les paralogues acquièrent rapidement des fonctions différentes

A quel point des séquences homologues se ressemblent-elles?

- ★ De 100% à quelques nucléotides/aminoacides en commun.
- ★ Il n'y a pas vraiment de limite, mais en dessous d'un certain niveau d'identité (*twilight zone*), il devient difficile de distinguer une homologie d'une ressemblance fortuite. 2 séquences d'ADN prises au hasard ont 25% de nt communs.
- ★ Des séquences sans ressemblance apparente peuvent parfaitement être homologues (on le retrouve par ex. au niveau 3D)
- ★ Par contre, étant donné la dimension de l'espace des séquences possibles, une ressemblance importante est généralement interprétée comme une homologie, et non pas comme une évolution convergente.

Comment détecter une homologie?

Principe: comparaison de séquences

- ★ L'alignement des séquences est la principale méthode de comparaison. Elle permet d'identifier des régions conservées. On en déduit l'homologie.
- ★ D'autres méthodes existent:
 - Analyse statistique des « mots » contenus dans la séquence
 - Recherche de domaines ou motifs communs

Alignement de séquences

- Comparer des séquences serait relativement simple si elles avaient toutes la même longueur. Comme ce n'est pas le cas, il faut les aligner, c'est à dire trouver où se trouvent les insertions et délétions, représentées par des « indels » (« gaps »)

★ Distance d'édition

- Selon ce concept, le bon alignement est celui qui minimise les opérations à réaliser pour passer d'une séquence à l'autre.
- Opérations: conservation, remplacement/mutation, délétion, insertion. Une pénalité peut être affectée à chaque opération, par exemple $c=0$, $m=1$, $d=2$, $i=2$. La distance finale entre les deux séquences (distance d'édition) est la somme de ces pénalités.

Seq 1 **CAGTGGT-GC**

Seq 2 **CA-TCGTAGC**

$c=0, m=1, d=2, i=2.$

Ou, distance **ccicmccdcc = 0+0+2+0+1+0+0+2+0+0 = 5**

variante: ressemblance **ccicmccdcc = 2+2-1+2-1+2+2-1+2+2 = 11**

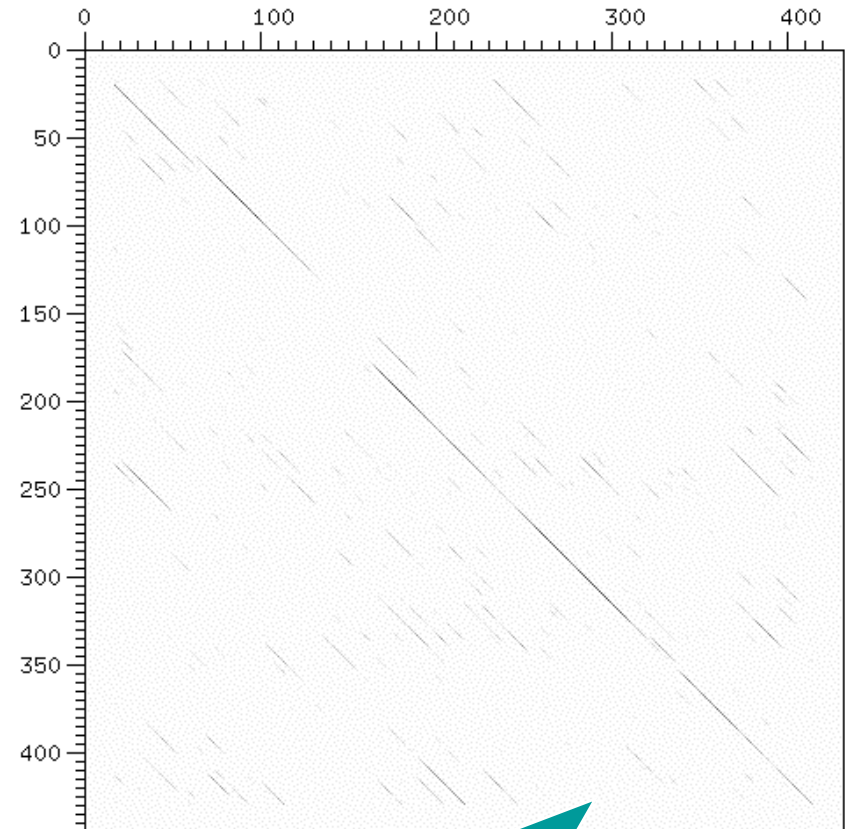
$c=2, m=-1, d=-1, i=-1.$

★ Comment trouver le meilleur alignement?

- Le nombre d'alignements possibles est trop élevé: on ne peut pas les essayer tous pour trouver celui qui minimise la distance (ou maximise la ressemblance).

Les « dot plots »

- Deux séquences à comparer sont représentées (ici 2 gènes de globine), une horizontalement, l'autre verticalement. On dessine ensuite un point dans la matrice lorsque les deux positions correspondantes sont identiques. Lorsque des régions se ressemblent, on voit apparaître une diagonale. Les décalages entre les diagonales correspondent à des insertions ou délétions. Plusieurs diagonales parallèles indiquent une répétition.
- Pour "nettoyer" le dot plot, on utilise souvent non pas un point par base, mais un point lorsque n bases sont identiques, ou n bases identiques dans une fenêtre de N. Cela réduit considérablement le nombre de points.
- Les dot plots sur des génomes complets permettent de visualiser les événements à grande échelle, la sythénie, etc.



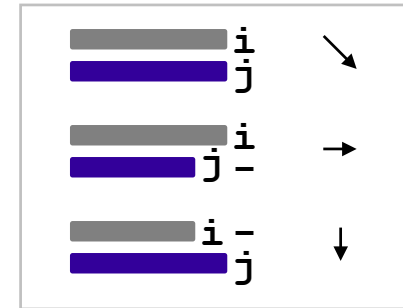
Alignement: trouver le meilleur chemin dans ce graphe

Algorithme de programmation dynamique

Needleman & Wunsch (1970).

Etape 1: Remplissage de la matrice

- ★ On veut aligner les séquences CAGTG et ACTCGT.
- ★ Une matrice de scores est remplie:



On définit les coûts, par ex:

$$v([-],[x]) = -1 \text{ [ins ou dél]}$$

$$v([x],[y]) = -1 \text{ (} x \neq y \text{) [mut]}$$

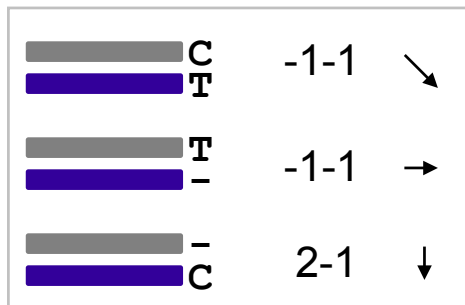
$$v([x],[x]) = +2 \text{ [cons]}$$

$$v([0 \rightarrow i], [0 \rightarrow j]) = \max \{ \\ v([0 \rightarrow i-1], [0 \rightarrow j-1]) + v([i],[j]) \\ v([0 \rightarrow i-1], [0 \rightarrow j]) + v([i],[-]) \\ v([0 \rightarrow i], [0 \rightarrow j-1]) + v([-],[j]) \}$$

L'amorçage se fait avec: $v([],[]) = 0$

et $v([-],[x]) = -1$

Par ex. l'entrée colorée est obtenue par $\max(-4-1, -1-1, -5-1)$, c'est à dire -2.



$j \backslash i$		C	A	G	T	G
	0	-1	-2	-3	-4	-5
A	-1	-1	1	0	-1	-2
C	-2	1	0	0	-1	-2
T	-3	0	0	-1	2	1
C	-4	-1	-1	-1	1	1
G	-5	-2	-2	1	0	3
T	-6	-3	-3	0	3	2

Programmation dynamique

Etape 2: Reconstitution de l'alignement

- ★ Le chemin (alignement) optimal est déterminé par l'algorithme:
- en partant de la cellule (m,n), retrouver quelle cellule était responsable de la cellule courante (chemin suivi représenté par les traits rouges).
- Ici 3 Solutions:

ACTCGT-
-CA-GTG

ACTCGT-
-C-AGTG

-ACTCGT
CAGT-G-

j \ i		C	A	G	T	G	
	0	0	-1	-2	-3	-4	-5
A	-1	-1	1	0	-1	-2	
C	-2	1	0	0	-1	-2	
T	-3	0	0	-1	2	1	
C	-4	-1	-1	-1	1	1	
G	-5	-2	-2	1	0	3	
T	-6	-3	-3	0	3	2	

Matrices de Substitution

- Matrice 4X4 (nt) ou 20x20 (aa) décrivant la distance ou la similitude entre résidus.
- Estiment le coût ou le taux de remplacement d'1 résidu par un autre (distance).
- Le choix d'une matrice affecte fortement le résultat de l'analyse. Chaque matrice de score représente implicitement une théorie évolutive donnée

Matrices DNA

	A	C	G	T
A	2	-1	-1	-1
C	-1	2	-1	-1
G	-1	-1	2	-1
T	-1	-1	-1	2

Matrice identité

	A	C	G	T
A	3	-1	1	-1
C	-1	3	-1	1
G	1	-1	3	-1
T	-1	1	-1	3

Matrice transition/transversion

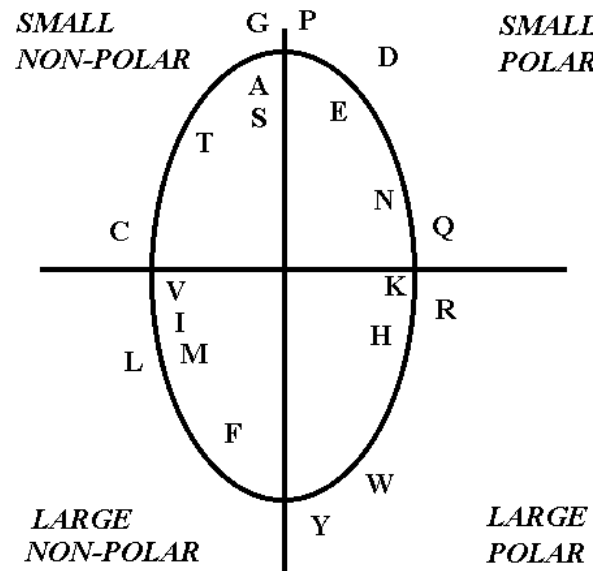
Matrices de Substitution

Matrices fondées sur le code génétique

- ★ Les scores sont déterminés en fonction du nombre commun de nucléotides présents dans les codons des acides aminés, ce qui revient à considérer le minimum de changements nécessaires en bases pour convertir un acide aminé en un autre.

Matrices fondées sur les propriétés physicochimiques

- ★ Les plus courantes sont celles basées sur le caractère hydrophile ou hydrophobe des protéines. Ces matrices sont peu utilisées.



Une représentation bidimensionnelle des propriétés des aa calculée d'après la matrice de Dayhoff par G. Vriend, Centre for Molecular and Biomolecular Informatics, University of Nijmegen

Matrices de Dayoff ou PAM

Margaret Dayhoff, 1978

- ★ **PAM = Percentage of Accepted point Mutation**
- ★ Probabilité d'observer la mutation X→Y après un temps évolutif donné.
Basé sur alignement de protéines conservées à + de 85%.

Chaque case représente la probabilité de voir ces deux résidus remplacés l'un par l'autre dans un alignement. (matrice lod-score, de "log-odds" ou "log des chances").

• Un exemple de lod-score est:

$$S = \log (F_{ij} / (F_i \times F_j))$$

Où F_{ij} est la fréquence de remplacement du résidu i par j , et F_i et F_j sont les fréquences respectives des résidus i et j .

- Dans cette matrice de similitude, plus la valeur est négative, plus la probabilité est faible, plus le remplacement est rare.
- La table est valable pour une certaine distance évolutive.
- La distance est mesurée en PAM: nbre de mutations ponctuelles par 100 aa.
- 2 Séquences séparées par une unité PAM: 1 mutation par 100 aa.
- Les valeurs sont déterminées initialement pour des protéines séparées de 6 à 100 PAM, puis extrapolées pour 150, 250 PAM, etc.
- Pour des protéines éloignées, on ne pourrait pas directement extrapoler à partir de valeurs tirées par ex. de PAM 10, car la *nature* des mutations change avec la distance évolutive. Le code génétique, par exemple, influence les mutations permises sur une courte durée, mais pas sur une longue durée.

Matrice de Dayoff (1979)

A	B	C	D	E	F	G	H	I	K	L	M	N	P	Q	R	S	T	V	W	Y	Z	
0.4	0.0	-0.4	0.0	0.0	-0.8	0.2	-0.2	-0.2	-0.2	-0.4	-0.2	0.0	0.2	0.0	-0.4	0.2	0.2	0.0	-1.2	-0.6	0.0	A
	0.5	-0.9	0.6	0.4	-1.0	0.1	0.3	-0.4	0.1	-0.7	-0.5	0.4	-0.2	0.3	-0.1	0.1	0.0	-0.4	-1.1	-0.6	0.4	B
		2.4	-1.0	-1.0	-0.8	-0.6	-0.6	-0.4	-1.0	-1.2	-1.0	-0.8	-0.6	-1.0	-0.8	0.0	-0.4	-0.4	-1.6	0.0	-1.0	C
			0.8	0.6	-1.2	0.2	0.2	-0.4	0.0	-0.8	-0.6	0.4	-0.2	0.4	-0.2	0.0	0.0	-0.4	-1.4	-0.8	0.5	D
				0.8	-1.0	0.0	0.2	-0.4	0.0	-0.6	-0.4	0.2	-0.2	0.4	-0.2	0.0	0.0	-0.4	-1.4	-0.8	0.6	E
					1.8	-1.0	-0.4	0.2	-1.0	0.4	0.0	-0.8	-1.0	-1.0	-0.8	-0.6	-0.6	-0.2	0.0	1.4	-1.0	F
						1.0	-0.4	-0.6	-0.4	-0.8	-0.6	0.0	-0.2	-0.2	-0.6	0.2	0.0	-0.2	-1.4	-1.0	-0.1	G
							1.2	-0.4	0.0	-0.4	-0.4	0.4	0.0	0.6	0.4	-0.2	-0.2	-0.4	-0.6	0.0	-0.4	H
								1.0	-0.4	0.4	0.4	-0.4	-0.4	-0.4	-0.4	-0.2	0.0	0.8	-1.0	-0.2	-0.4	I
									1.0	-0.6	0.0	0.2	-0.2	0.2	0.6	0.0	0.0	-0.4	-0.6	-0.8	0.1	K
										1.2	0.8	-0.6	-0.6	-0.4	-0.6	-0.6	-0.4	0.4	-0.4	-0.2	-0.5	L
											1.2	-0.4	-0.4	-0.2	0.0	-0.4	-0.2	0.4	-0.8	-0.4	-0.3	M
												0.4	-0.2	0.2	0.0	0.2	0.0	-0.4	-0.8	-0.4	0.2	N
													1.2	0.0	0.0	0.2	0.0	-0.2	-1.2	-1.0	-0.1	P
														0.8	0.2	-0.2	-0.2	-0.4	-1.0	-0.8	0.6	Q
															1.2	0.0	-0.2	-0.4	0.4	-0.8	0.6	R
																0.4	0.2	-0.2	-0.4	-0.6	-0.1	S
																	0.6	0.0	-1.0	-0.6	-0.1	T
																		0.8	-1.2	-0.4	-0.4	V
																			3.4	0.0	-1.2	W
																				2.0	-0.8	Y
																					0.6	Z

W=Tryprothane (Cyclique)

C= Cysteine (Soufre)

Autres matrices de substitution

BLOSUM

- ★ Le but est de détecter des relations entre protéines plus éloignées.
- ★ Avec les matrices PAM, les valeurs pour des protéines éloignées sont extrapolées. Avec BLOSUM, ces valeurs sont obtenues en comparant des blocs facilement alignables (sans gaps) dans des familles de protéines très éloignées.
- ★ Ces matrices sont reconnues pour mettre en valeur les similitudes biologiquement importantes (celles qui sont présentes dans les régions alignées sans gaps).
- ★ BLOSUM62: faite à partir d'un alignement de séquences ayant 62% de similitude, BLOSUM45: 45%, etc.

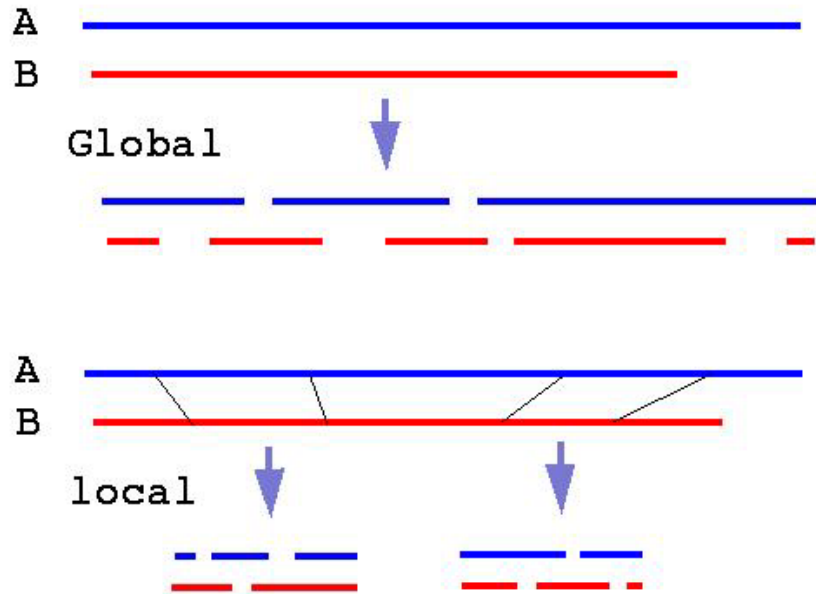
Matrices d'après alignement 3D

- ★ Basées sur la structure secondaire ou tertiaire. Évaluent la propension d'un acide aminé à adopter une certaine conformation. Fiables car fondées sur le meilleur alignement possible. Encore incomplètes en raison de la taille des banques de données 3D.

Alignement local ou global

Des finalités très différentes:

- ★ l'alignement global est conçu pour comparer des séquences homologues sur toute leur longueur.
- ★ L'alignement local est conçu pour rechercher des régions semblables entre A et B.



Les programmes d'alignement global

- ★ Méthode employée pour aligner des séquences dont on soupçonne l'homologie. L'alignement est optimisé sur toute la longueur des séquences. L'algorithme de référence est celui de Needleman & Wunsch (1970).
- ★ Utilisé principalement aujourd'hui dans le cadre de l'alignement multiple (voir plus loin)

Les programmes d'alignement local

- Aligne seulement les régions dont le score est supérieur à un seuil donné. Utilisé lorsque l'on veut aligner deux séquences de taille très différente. (par ex. dans une recherche de sous-séquence). Beaucoup plus rapide que l'alignement global.

★ **Smith-Waterman**

- Programmation dynamique avec arrêt de la procédure quand le score devient trop faible. Sélection du meilleur alignement local.

★ **Fasta (Lipman & Pearson, 1985)**

- Heuristique: recherche d'abord des segments de longueur k exactement semblables (k -mots), raccorde ces segments si présents sur une même diagonale ou sur des diagonales proches, puis réaligne la région par programmation dynamique. Une seule solution par couple de séquences comparées.

Blast (Lipman, Karlin, Altschul, 1990)

★ Le plus utilisé des programmes d'alignement local

- k-mots également, mots approchés permis au dessus d'un certain score.
- Pré-codage de la base de données et de la requête pour recherche plus rapide des k-mots.
- Version 1: sans Gaps
- Version 2: avec Gaps

The BLAST Search Algorithm

query word ($W = 3$)

Query: GSVEDTTGSQSLAALLNKCKT**TPQG**QRLVNQWIKQPLMDKNRIEERLNLVEAFVEDAELRQTLQEDL

neighborhood words

PQG 18
 PEG 15
 PRG 14
 PKG 14
 FNG 13
 PDG 13
 PHG 13
EMG 13
 PSG 13
 PQA 12
 PON 12
 etc ..

neighborhood score threshold
 ($T = 13$)

Query: 325 SLAALLNKCKT**TPQG**QRLVNQWIKQPLMDKNRIEERLNLVEA 365
 +LA++L+ TP G R++ +W+ P+ D + ER + A
 Sbjct: 290 TLASVLDC**TEMG**SRMLKRWLHMPVRDTRVLLERQQTIGA 330

High-scoring Segment Pair (HSP)

★ Points forts

- Rapidité
- Calcul de la valeur statistique des scores.

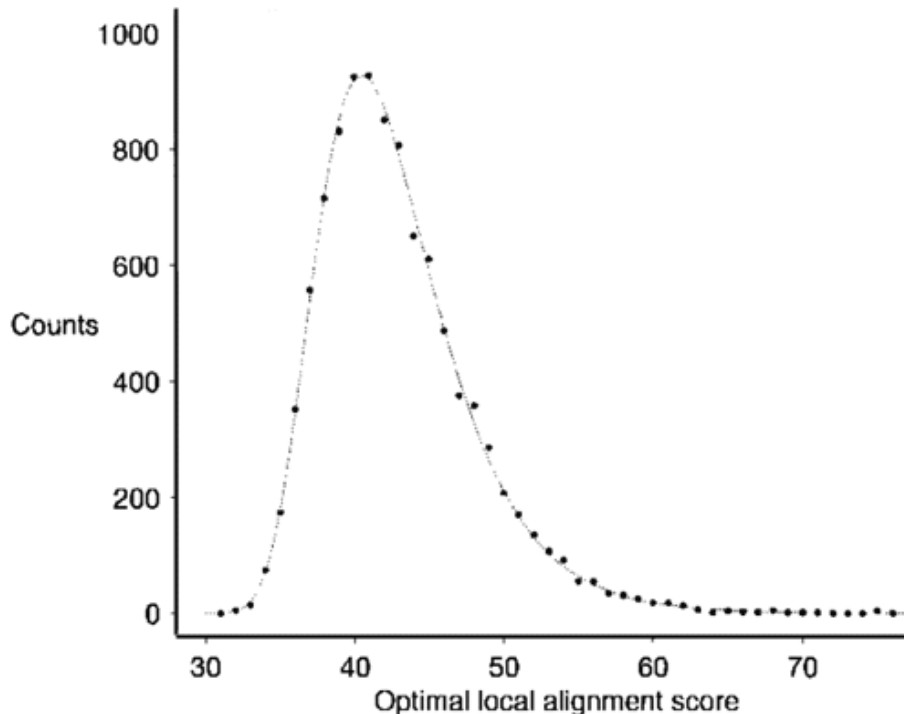
Statistiques de Blast

Expectation value (E-value): nombre de solutions attendues par chance avec un score S ou plus

- ★ En raison de l'algorithme d'alignement, qui recherche le meilleur score possible pour une position donnée, les scores des HSP ne suivent pas une distribution normale, mais une **distribution des valeurs extrêmes**. En comparant 2 séquences de longueurs n et m , le nombre attendu de HSP ayant un score S ou plus est défini par:

$$E = Kmne^{-\lambda S}$$

où K et λ sont des paramètres statistiques dépendant du système de score et de la composition de fonds en acides aminés. Blast estime ces paramètres a priori pour les différents systèmes de score (BLOSUM62, etc.). Pour un alignement sans gaps, K et λ peuvent être calculés. Pour un alignement avec gaps, il a fallu recourir à des simulations sur un grand nombre de séquences aléatoires.



exemple de tracé de scores d'alignement optimaux

Statistiques de Blast

P value

- ★ La probabilité de trouver au moins un HSP de score $\geq S$ est:

$$P = 1 - e^{-E} = 1 - \exp(-Kmn e^{-\lambda x})$$

Recherche dans les banques

- ★ Les équations de E et P s'appliquent à la comparaison de 2 séquences. Si l'on compare une séquence à une banque contenant un grand nombre, les chances d'obtenir un certain score sont bien sûr plus élevées. Blast fait comme si la recherche s'effectuait dans une longue séquence de longueur N (longueur totale de la banque), en tenant compte en outre des effets de bordure (en raison de leur longueur, les séquences "requêtes" ne peuvent arriver trop près des bords des séquences de la base).

Blast en pratique

- ★ Visiter [Le serveur Blast du NCBI](#):
- ★ Programs: *blastn*: AN contre AN *blastp*: Prot contre Prot
blastx: AN 6 cadres contre prot *tblastn*: Prot contre AN 6 cadres
tblastx: AN 6 cadres contre AN 6 cadres
- ★ Database: nr (non redondant) est automatiquement sélectionné en version "protéines" ou "acides nucléiques" selon qu'on utilise *blastp* ou *blastn*.
- ★ Masquage: les régions risquant de produire des solutions non spécifiques peuvent-être remplacées par des X
 - Régions de basse complexité
 - Séquences répétées eucaryotiques

NCBI *nucleotide-nucleotide* BLAST

Nucleotide Protein Translations Retrieve results for an RID

[Search](#)

```
ATATATTATATATATATTAATAAATATATATTTATATTATATATTTATAATATTATATA
ATATATTATATATATTTATATATATTTATATATATTATATATATATATATATATATAT
ATTATTATATATATATATATTATATATATATATATATATATATATATATATATATATAT
```

[Set subsequence](#) From: To:

[Choose database](#)

Now: **BLAST!** or [Reset query](#) [Reset all](#)

Options for advanced blasting

[Limit by entrez query](#) or select from:

[Choose filter](#) Low complexity Human repeats Mask for lookup table only Mask lower case

[Expect](#)

[Word Size](#)

[Other advanced](#)

Format

Show [Graphical Overview](#) [Linkout](#) [Sequence Retrieval](#) [NCBI.gov](#) Alignment HTML

Number of: [Descriptions](#) [Alignments](#)

[Alignment view](#)

[Limit results by entrez query](#) or select from:

[Expect value range:](#)

[Layout:](#) [Formatting options on page with results:](#)

[Autofomat](#)

BLAST! or [Reset all](#)

Get the URL with preset values? [Get URL](#)

Sortie de Blast

Query= (734 letters)

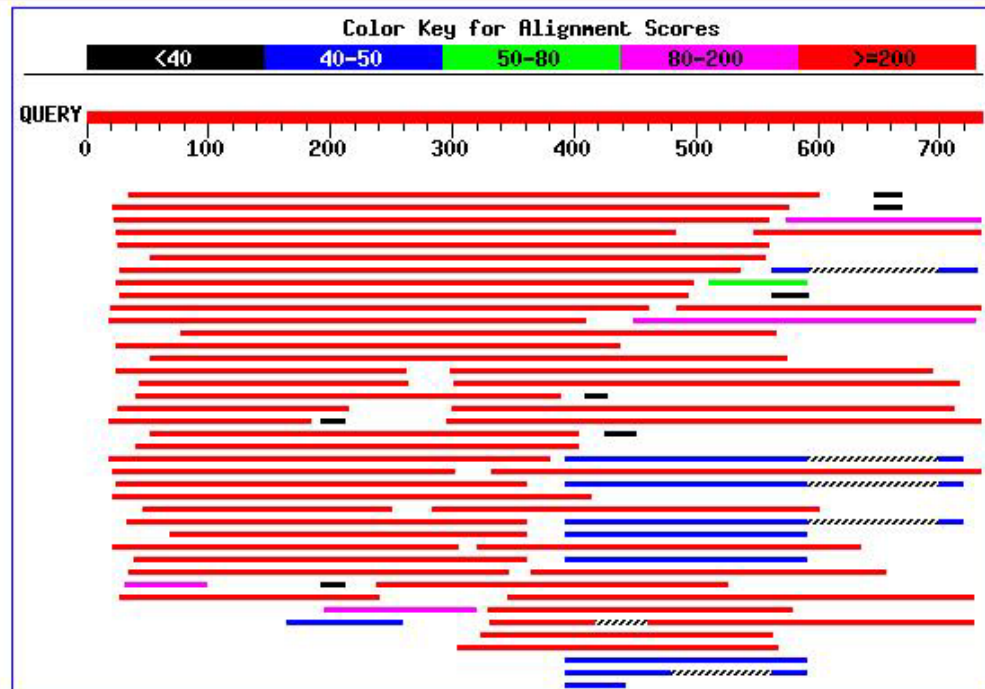
Database: Non-redundant Database of GenBank EST Division
1,938,225 sequences; 736,227,809 total letters

Searching.....done

If you have any problems or questions with the results of this search please refer to the [BLAST FAQs](#)

Distribution of 76 Blast Hits on the Query Sequence

Mouse-over to show defline and scores. Click to show alignments



Exemples usage Blast (suivre les liens)

✦ Blastx cDNA / Prot

✦ Blastn cDNA / Gb

✦ Blastn cDNA / dbEST

✦ Pièges: vecteurs

✦ Pièges: basse complex.

✦ Pièges: Alu

✦ Pièges: transmembrane

★ Caractériser le gène correspondant à un cDNA

★ Trouver d'autres cDNA ou mRNA semblables

★ Trouver des EST correspondant à un cDNA (p.ex. pour profil d'expression)

★ Attention: il reste souvent des séquences de vecteurs attachées aux ARNm

★ Séquences riches en AT, riches en résidus hydrophobes, etc.

★ Séquences répétées=40% du génome humain

★ Séquences transmembranaires (hydrophobes): même comportement que basse complexité

Vaut-il mieux comparer les protéines ou l'ADN pour rechercher des homologues d'une séquence?

- ★ La meilleure façon de détecter des similitudes entre séquences est généralement la *comparaison au niveau protéique*.
 1. Il existe 20 aa contre 4 bases. La probabilité de trouver une "lettre" donnée par hasard est donc plus importante pour les bases.
 2. Plusieurs codons produisent le même aa. 134 / 549 substitutions de bases sont synonymes. Les séquences protéiques sont plus informatives.
 3. La raison principale est en fait l'existence d'outils de comparaison plus puissants pour les aa: utilisation des propriétés physicochimiques ou des substitutions observées dans l'évolution. Même lorsque les aa sont différents, on est capable de retrouver des similitudes. On en est tout à fait incapable au niveau des bases.
- ★ Il existe en fait des cas où la séquence d'ADN est plus conservée que la séquence protéique, ce qui enlève du poids à l'argument 1
- ★ Les comparaisons avec les séquences protéiques ne permettent de détecter que les régions codantes. Evidemment, on utilisera toujours la séquence ADN/ARN pour analyser ce qui n'est pas traduit!

Ensembles de séquences / Alignement multiple

Pourquoi analyser des ensembles de séquences?

L'ensemble de séquence (représenté généralement par un alignement multiple) révèle des aspects que l'on ne pouvait pas visualiser en comparant 2 séquences

- ★ Identifier les acides aminés essentiels,
- ★ Identifier les domaines
- ★ Etablir les signatures de chaque famille de protéines
- ★ Etablir la phylogénie des séquences, et même parfois des organismes, Distinguer paralogues et orthologues
- ★ Comme une aide à la modélisation: Les algorithmes de prédiction de structures secondaires exploitent beaucoup mieux les alignements multiples. Connaître les acides aminés permis à telle ou telle position facilite l'inférence 3D.

Représenter un ensemble de séquences

- ★ Lorsqu'on travaille sur un ensemble de séquences homologues (contenant un motif ou un domaine conservé), on cherche souvent à décrire rigoureusement ce qui est important dans ces séquences (pour déterminer les résidus fonctionnels, pour rechercher d'autres instances de la fonction, etc.)
- ★ Mais comment représenter ce qui est important?

Consensus

- ★ A partir d'un alignement, on détermine les résidus les plus fréquents à chaque position. Si la fréquence dépasse un certain seuil: séquence incluse dans le consensus. P. ex. consensus 90%:
- ★ Faible spécificité / sensibilité

Représenter un ensemble de séquences

Expression régulière

- ★ Un chaîne de caractères décrivant un ensemble des séquences, avec des alternatives possibles à chaque position. c'est la méthode utilisée dans PROSITE. Exemple de descripteur PROSITE:
- ★ [AC]-x-V-x(4)-{ED} x: N'importe quel aa
 - []: choix entre plusieurs aa
 - { }: Tous, sauf les aa mentionnés
 - (x,y): Répétition x à y fois
- ★ Semblables en principe, les langages utilisés dans Prosite et dans les expressions régulières Unix diffèrent dans les détails.

<ul style="list-style-type: none">^ Le début d'une ligne. Tout caractère (sauf newline)\$ La fin d'une ligne Choix. A B: A ou B() groupement[] Classe de caracteres. [AGUC]: A,G,U ou C\ Avant un caractère spécial* 0 fois ou plus+ une fois ou plus? une fois ou zero{n} exactement n fois{n,} au moins n fois{n,m} de n a m fois
--

Expressions régulières Unix:

Représenter un ensemble de séquences

Profil ou Matrice score-position (*Position Weight Matrix*)

- ★ Plus subtil que les consensus: Pour chaque position de l'alignement, on détermine la fréquence d'observation des différents résidus.
- ★ Ceci est résumé dans un tableau qui donne pour chaque position les fréquences des 20 a.a. (ou 4 bases)
- ★ Une matrice de score est calculée à partir du tableau, selon la formule:
 $S_{b,i} = \log(F_{b,i} / F_b)$ (F_b est la fréquence observée dans le génome analysé)
- ★ La recherche est effectuée en faisant glisser une fenêtre sur la séquence à analyser et en calculant le score total à chaque position de la fenêtre.
- ★ Une banque de profils interrogeable est disponible à l'ISREC: [Profilescan](#)
- ★ La banque de motifs Prosite est également distribuée sous forme de profils.

Représenter un ensemble de séquences

Profils...

```

A G G A T C T C T
A A C C A C C G A
A A C G T A C C A T
A A C G T A T C A T
A A G T T C T C T
  
```

A	6	4	0	2	2	0	1	1	2
C	0	0	3	1	0	6	0	3	0
G	0	2	3	1	0	0	2	2	0
T	0	0	0	2	4	0	3	0	4

log(0): remplacé par pénalité fixe ou selon modèle

log(F_{b,i} / F_b)

0,6	0,43	####	0,12	0,12	####	-0,18	-0,18	0,125
####	####	0,3	-0,18	####	0,6	####	0,3	####
####	0,12	0,3	-0,18	####	####	0,12	0,12	####
####	####	####	0,12	0,43	####	0,3	####	0,426

A A C C A C G G A A A C C A C G G A A A C C

+0,6 -10 +0,3 -0,18 +0,12 -10 -0,18 +0,3 -10

Score=-29

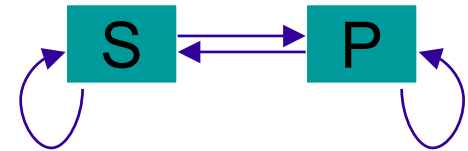
Chaînes de Markov (MM: Markov Models)

★ Imaginons un monde binaire

- P=Pluie
- S=Soleil

★ S P S S P P P S P P P ?

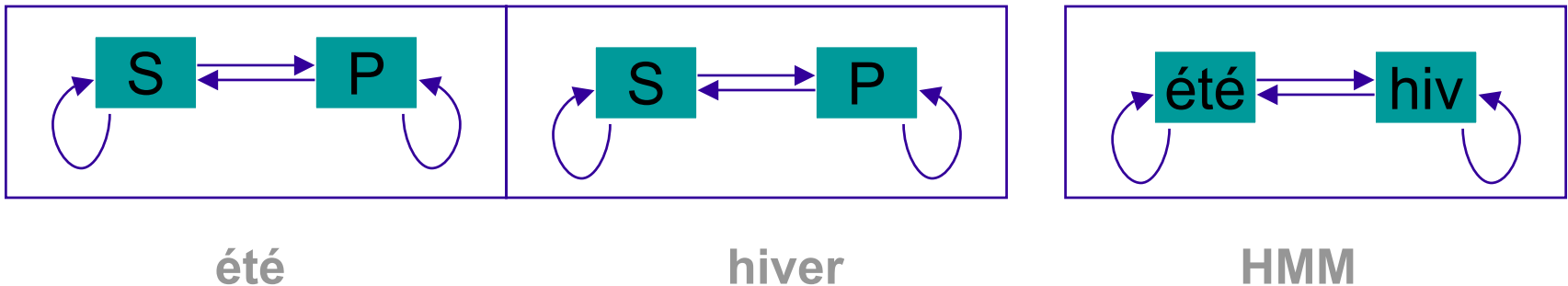
- Quel est le temps le plus probable demain?
- Solution: mesurer les probabilités de transition sur un ensemble d'entraînement, puis les appliquer à la séquence observée
- Ordre 1: P -> ?
- Ordre 5: P S P P P -> ?



- ★ Une *chaîne de Markov* est une collection d'ETATS correspondant chacun à une observation, où le passage d'un état à l'autre (flèches) est associé à une probabilité.
- ★ les probabilités de passage d'un état à l'autre sont appelées *probabilités de transition*.
- ★ Le système a besoin d'une phase d'*entraînement* pour déterminer les probabilités de transition.

Chaînes de Markov cachées (HMM)

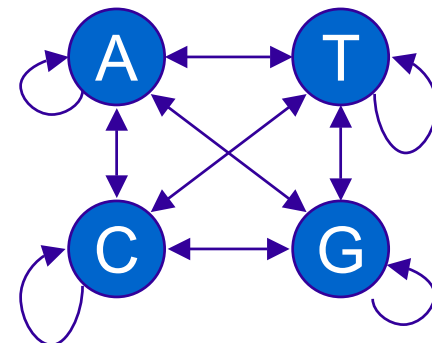
- ★ Cas où l'information que l'on cherche n'est pas un évènement de la chaîne.
- ★ Par exemple: S P S S P P P S P P P -> est-on en été ou en hiver?
- ★ Dans ce cas, il faut entraîner deux MM (été et hiver) et évaluer en plus les transitions été/hiver:



Modèles Markoviens et séquences biologiques

- Lorsqu'on sait que la succession des nt est importantes (par ex. dinucléotides (CpG), trinucléotides (codons), etc.), on veut un *modèle* dans lequel la probabilité d'une base dépende des bases précédentes.
- La base d'entraînement est constituée d'un ensemble de séquences de la même famille à reconnaître (par exemple: exons).
- Pour calculer la probabilité qu'une séquence appartienne à cette famille, il suffit d'observer les transitions apparaissant dans cette séquence, puis de se reporter au MM pour obtenir les probas. La probabilité finale est le produit des probabilités de transition.

Ici, chaîne d'ordre 1. Dans une *Chaîne d'ordre k* : l'état suivant dépend des k états précédents. Par exemple, ordre 5: probabilité d'observer un A après avoir vu AAUAA.



HMM et séquences biologiques

- S'il y a plusieurs type d'objets à identifier (cf été/hiver, ou intron/exon/promoteur, etc.) il faut employer *plusieurs MM*.
- Lorsque qu'on a plusieurs modèles, il faut également détecter que l'on passe d'un modèle à l'autre, donc ajouter à chaque état d'un modèle une probabilité de passer à un état de l'autre modèle. Il n'y a plus de correspondance directe entre les bases et les états. Par ex. la base G peut se trouver dans un modèle ou dans l'autre. On dit alors que le modèle est *caché*
- Exemple: modélisation d'un gène complet (programme Genscan): MM pour intron/exon/intergénique, et transitions d'un MM à l'autre.

PSI-Blast (recherche itérative de profil)

Principe

- ★ Une première séquence est recherchée dans une base de données
- ★ Les séquences similaires significatives sont alignées sur la séquence requête.
- ★ Un profil est construit
- ★ Ce profil est recherché dans la banque de donnée pour collecter des séquences supplémentaires, etc.

Avantages et inconvénients

- ★ Excellent pour la recherche d'homologues éloignés.
- ★ Si une séquence sans parenté avec la première est collectée accidentellement, celle-ci entraîne tous ses homologues avec elle au tour suivant. Le profil perd son sens.
- ★ Les protéines multidomaines posent le même problème
- ★ N'existe que pour les protéines

Sortie PSI-Blast

Run PSI-Blast iteration 2

Sequences with E-value WORSE than threshold

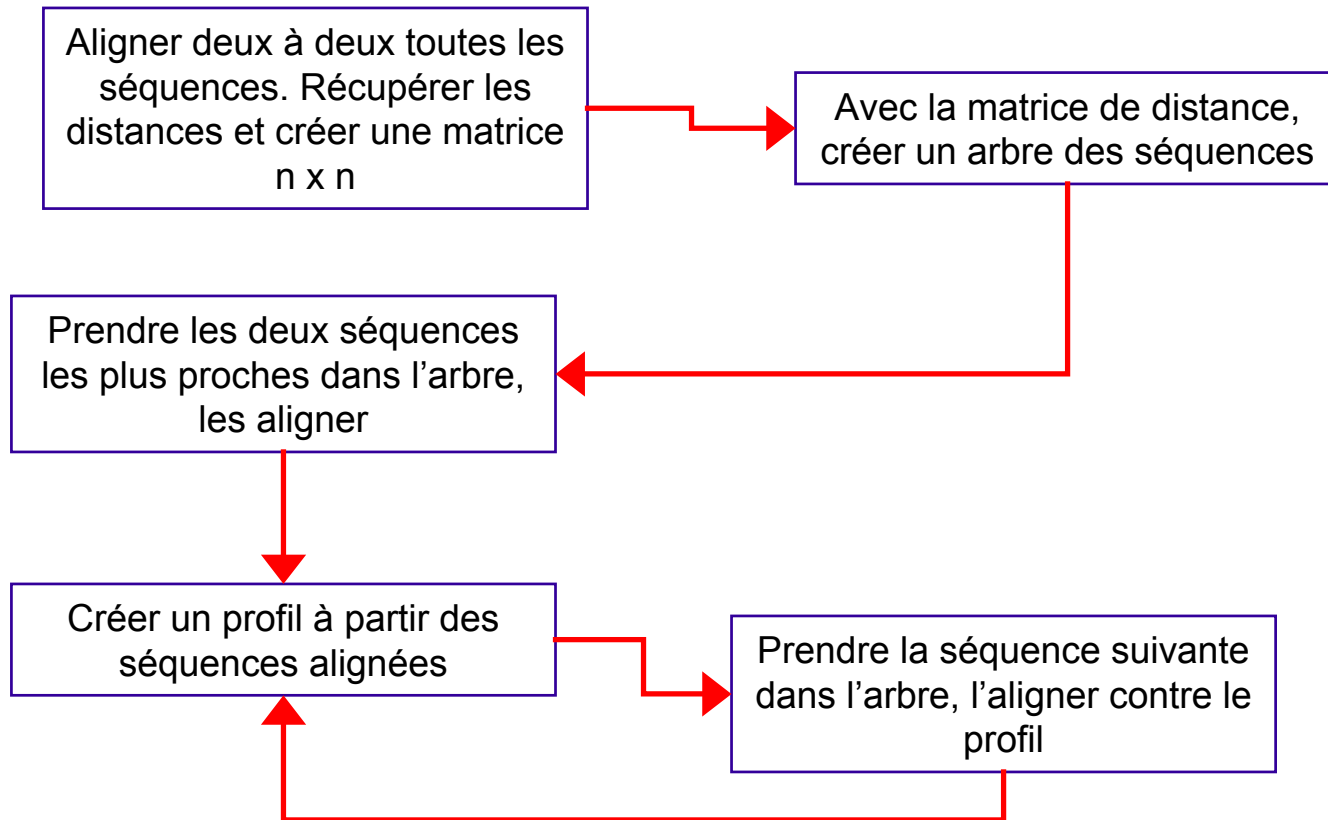
<input checked="" type="checkbox"/>	gi 38257801 sp Q92U91 E133 ARATH	Putative glucan endo-1,3-beta-g...	223	5e-58
<input checked="" type="checkbox"/>	gi 1706553 sp P52397 E13J TOBAC	Glucan endo-1,3-beta-glucosidase...	208	1e-53
<input checked="" type="checkbox"/>	gi 1169451 sp Q06915 EA6 ARATH	Probable glucan endo-1,3-beta-glu...	196	7e-50
<input checked="" type="checkbox"/>	gi 38257734 sp Q94CD8 E134 ARATH	Putative glucan endo-1,3-beta-g...	181	2e-45
<input checked="" type="checkbox"/>	gi 38257732 sp Q93Z08 E136 ARATH	Putative glucan endo-1,3-beta-g...	178	1e-44
<input checked="" type="checkbox"/>	gi 38257777 sp Q9M088 E135 ARATH	Putative glucan endo-1,3-beta-g...	176	9e-44
<input checked="" type="checkbox"/>	gi 1706551 sp P52409 E13B WHEAT	GLUCAN ENDO-1,3-BETA-GLUCOSIDASE...	156	5e-38
<input checked="" type="checkbox"/>	gi 38257361 sp O65399 E131 ARATH	Putative glucan endo-1,3-beta-g...	140	5e-33
<hr/>				
<input type="checkbox"/>	gi 1168656 sp P43070 BGL2 CANAL	GLUCAN 1,3-BETA-GLUCOSIDASE PREC...	40	0.008
<input type="checkbox"/>	gi 114954 sp P15703 BGL2 YEAST	Glucan 1,3-beta-glucosidase precu...	37	0.052
<input type="checkbox"/>	gi 2497223 sp Q04951 SCWA YEAST	Probable family 17 glucosidase S...	34	0.37
<input type="checkbox"/>	gi 2497237 sp O08863 BIR3 MOUSE	Baculoviral IAP repeat-containin...	33	0.78 L
<input type="checkbox"/>	gi 6226399 sp O26914 Y826 METHH	Hypothetical protein MTH826	32	1.7

Clustal

- ★ Clustal (Des Higgins) est le programme d'alignement multiple le plus employé. Version actuelle: CLUSTALW
- ★ Clustalw utilise les profils. Les séquences déjà alignées servent de profil pour diriger la suite de l'alignement.
- ★ Chaque nouvelle séquence est alignée contre le profil des séquences déjà alignées.
- ★ Pondération (Sequence weighting). Lorsque l'alignement contient plusieurs séquences très proches, celles-ci vont prendre plus d'importance dans le profil qu'une séquence isolée éloignée de celles-ci. Pour éviter que de tels groupes de séquences proches biaisent l'alignement, l'importance de chaque séquence dans le profil est pondérée en fonction du nombre d'homologues proches, tels que déterminés par un arbre.
- ★ Clustal génère donc aussi un arbre, qu'on peut utiliser pour l'analyse phylogénétique

Algorithme de Clustal

Pour aligner n séquences



ClustalW

[[Clustal file](#)] View data in: [[MPSA \(Mac, UNIX\)](#) , [About...](#)] [[AnTheProt \(PC\)](#) , [Download...](#)] [[HELP](#)]

CLUSTAL W (1.74) multiple sequence alignment

```

              10           20           30           40           50           60
              |           |           |           |           |           |
HIVPV22      -----GATGGGGGTGGA-----
HIVNL43      -----TCAGCACTTGTGGAGATGGGGGTGGA-----
HIVHXB2CG    -----ATATCAGCACTTGTGGAGATGGGGGTGGA-----
HIVBH101     -----TGAGAGTGAAGGAGAAATATCAGCACTTGTGGAGATGGGGGTGGA-----
HIVETR       ATGAGAGTGAAGGAGATCAGGAAGAATTATCAGCACTTGTGGAGATGGGGCATCATGCTC
HIV1U36863   -TGAGAGTGAAGGAGACCAGGAAGAATTATCAGCACTTGTGGAAATGGGGCACCAATGCTC
                                   *****
                                   *

              70           80           90           100          110          120
              |           |           |           |           |           |
HIVPV22      -GATGGGGCACCATGCTCCTTGGGATGTTGATGATCTGTAGTGCTACAGAAAAATTGTGG
HIVNL43      -AATGGGGCACCATGCTCCTTGGGATAATTGATGATCTGTAGTGCTACAGAAAAATTGTGG
HIVHXB2CG    -GATGGGGCACCATGCTCCTTGGGATGTTGATGATCTGTAGTGCTACAGAAAAATTGTGG
HIVBH101     -GATGGGGCACCATGCTCCTTGGGATGTTGATGATCTGTAGTGCTACAGAAAAATTGTGG
HIVETR       CGATGGGGCACCATGCTCCTTGGGATGTTGATGATCTGTAGTGCTGCAGAACAAATTGTGG
HIV1U36863   CAATGGGGCACGATGCTCCTTGGGATGTTAATGATCTGTAGTGCTGCAGACAAAATTGTGG
          *****
          *****
          ** *****
          *****
          ** *****
          *****
```

La Phylogénie Moléculaire

A quoi ça sert?

- ★ A retracer l'évolution des espèces. Les premiers arbres phylogénétiques réalisés à partir des ARN 16S et des cytochromes C ont avantageusement remplacés les phylogénies fondées sur l'étude des caractères qualitatifs. Elles ont permis notamment la découverte du domaine Archae, à côté des Bactéries et des Eucaryotes.
- ★ La phylogénie moléculaire permet également de comprendre l'évolution des gènes et d'en tirer des informations fonctionnelles très importantes: notamment paralogie et orthologie.

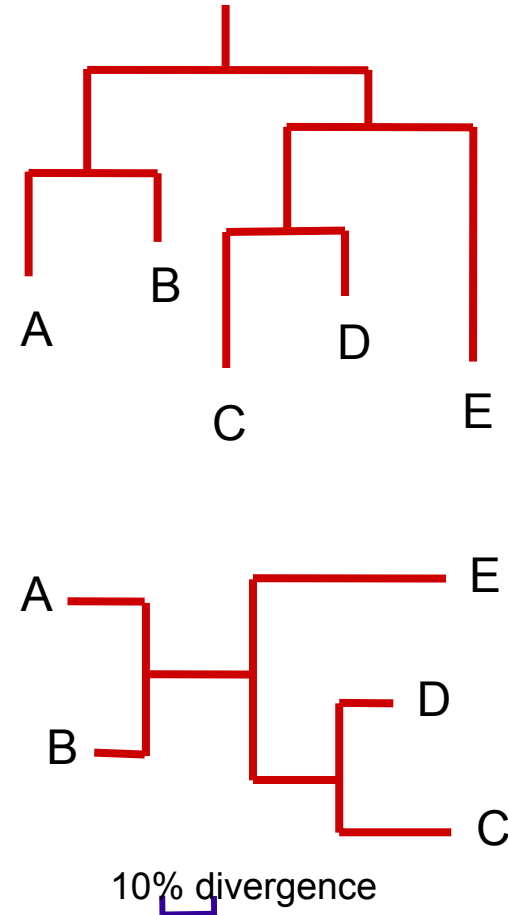
Les arbres

Arbres avec ou sans racine

- ★ Avec racine: montre les relations ancestrales.
- ★ Sans racine: montre les distances.

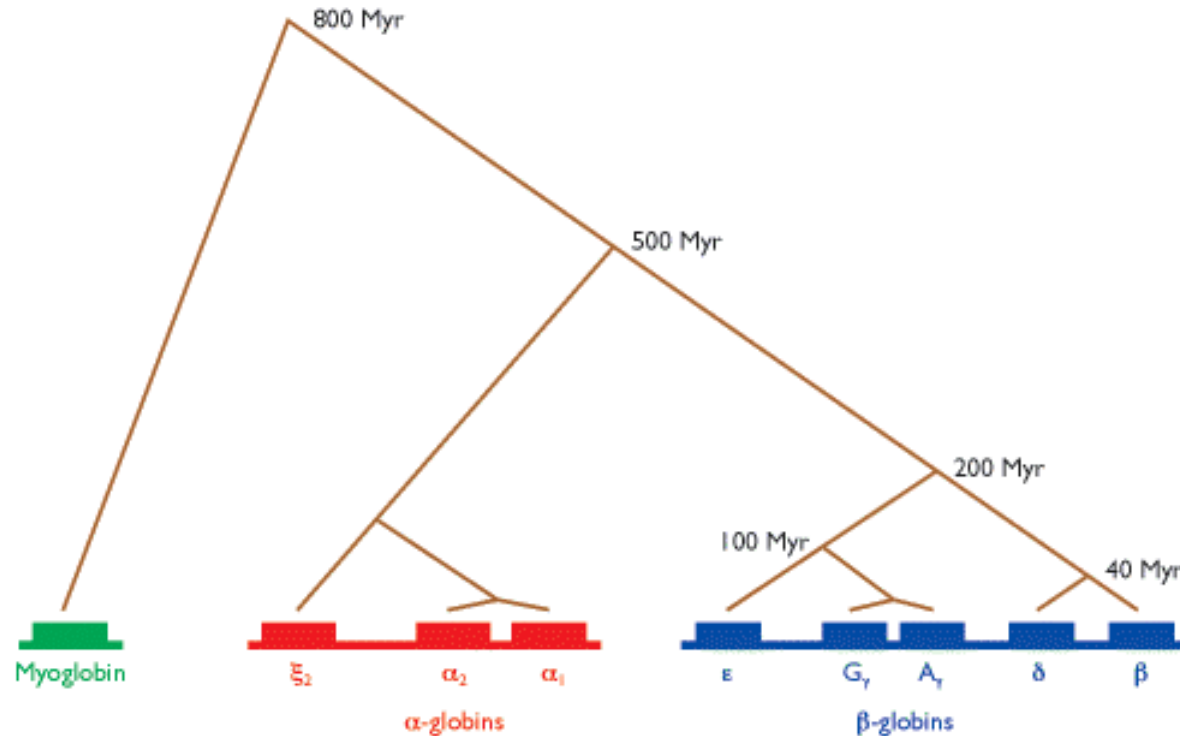
Structure d'un arbre

- ★ Feuilles, branches et noeuds
- ★ Un arbre représente mal les distances entre individus
- ★ Le meilleur arbre est celui qui minimise les distances et dont taille des branches respecte mieux les distances réelles



Exemple: les gènes de globine humains

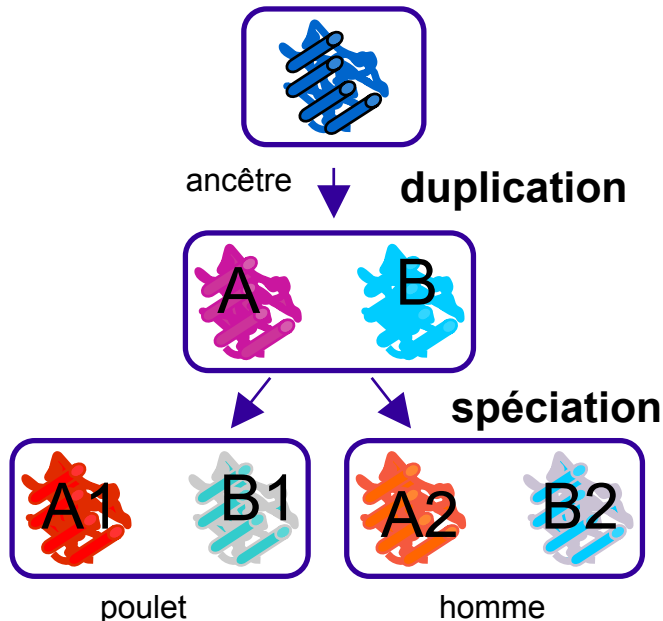
★ Tous paralogues



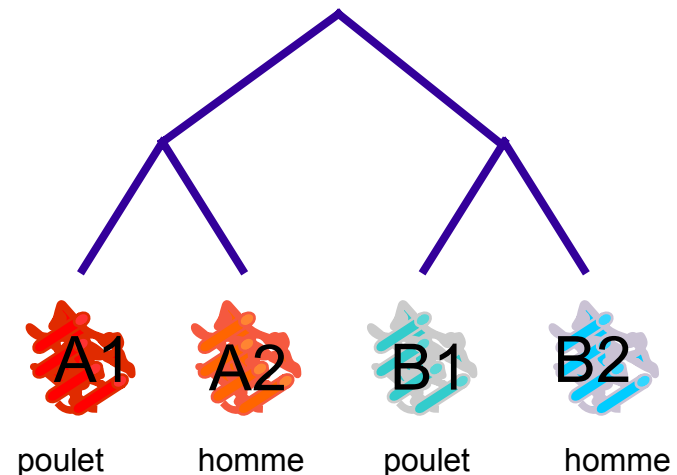
Les gènes se trouvent maintenant sur différents chromosomes: le gène de myoglobine est sur le chromosome 22, les gènes de α -globines sont sur le chromosome 16 et les gènes de β -globine sont sur le chromosome 11.

Arbres avec paralogues et orthologues

- ★ Admettons le schéma évolutif suivant (à gauche) ayant produit deux gènes paralogues présents chez tous les vertébrés.
- ★ Etant donné que la duplication (ayant produit les paralogues) a eu lieu AVANT la spéciation (ayant produit les orthologues), les orthologues devraient être plus proches entre eux que les paralogues. L'arbre devrait donc ressembler au modèle de droite

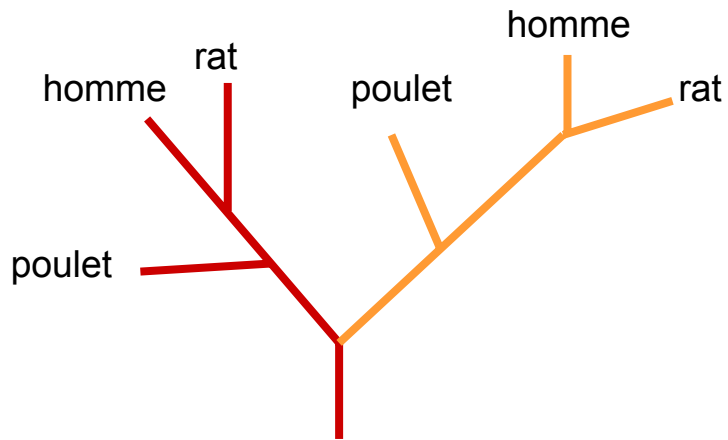


- ★ Mais certains mécanismes d'évolution interfèrent avec ce schéma idéal:
 - Conversion: une partie d'un gène est recopiée dans l'autre copie de ce gène (advient lorsque les 2 copies sont physiquement proches). Ce mécanisme maintient une forte ressemblance entre les différentes copies d'un gène.
 - Transfert horizontal: par endosymbiontes, etc. Fitch a aussi introduit "xénologue" pour évoquer ce cas.
 - On peut également avoir une organisation multidomaine qui provoque des erreurs sur les distances quand celles-ci sont calculées sur le gène entier.

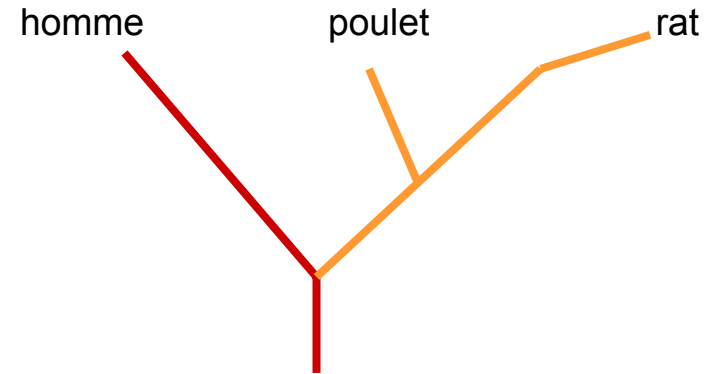


Exemples d'interprétation d'arbre

- ★ 2 groupes d'orthologues (p.ex. globines alpha d'une part et beta d'autre part)



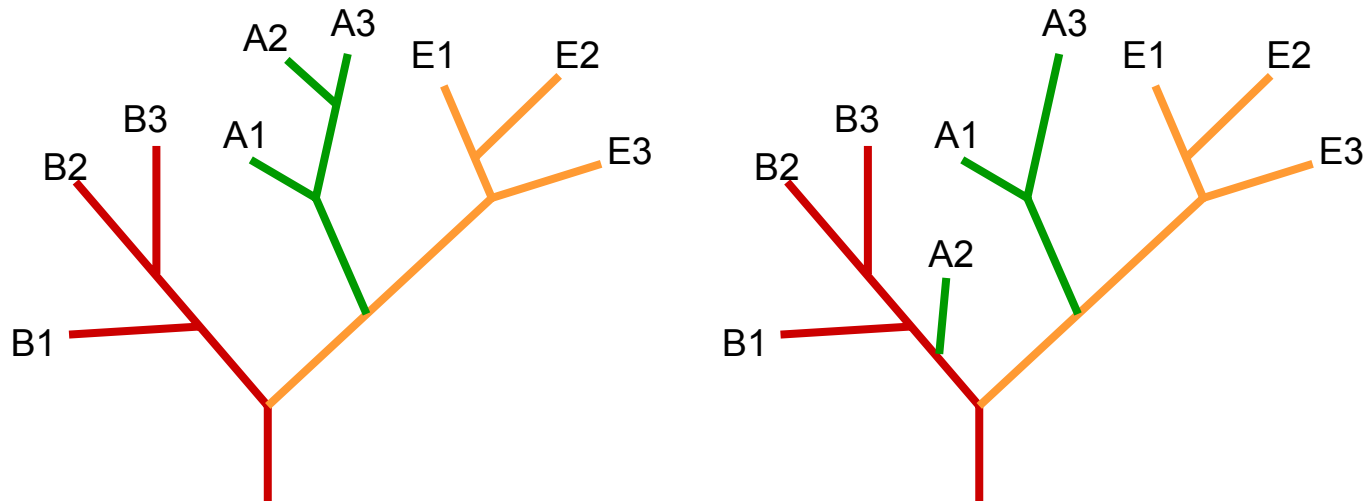
- ★ Jeu de séquences incomplet (d'après cette structure, on soupçonne que la séquence humaine est paralogue aux autres)



Exemples d'interprétation d'arbre

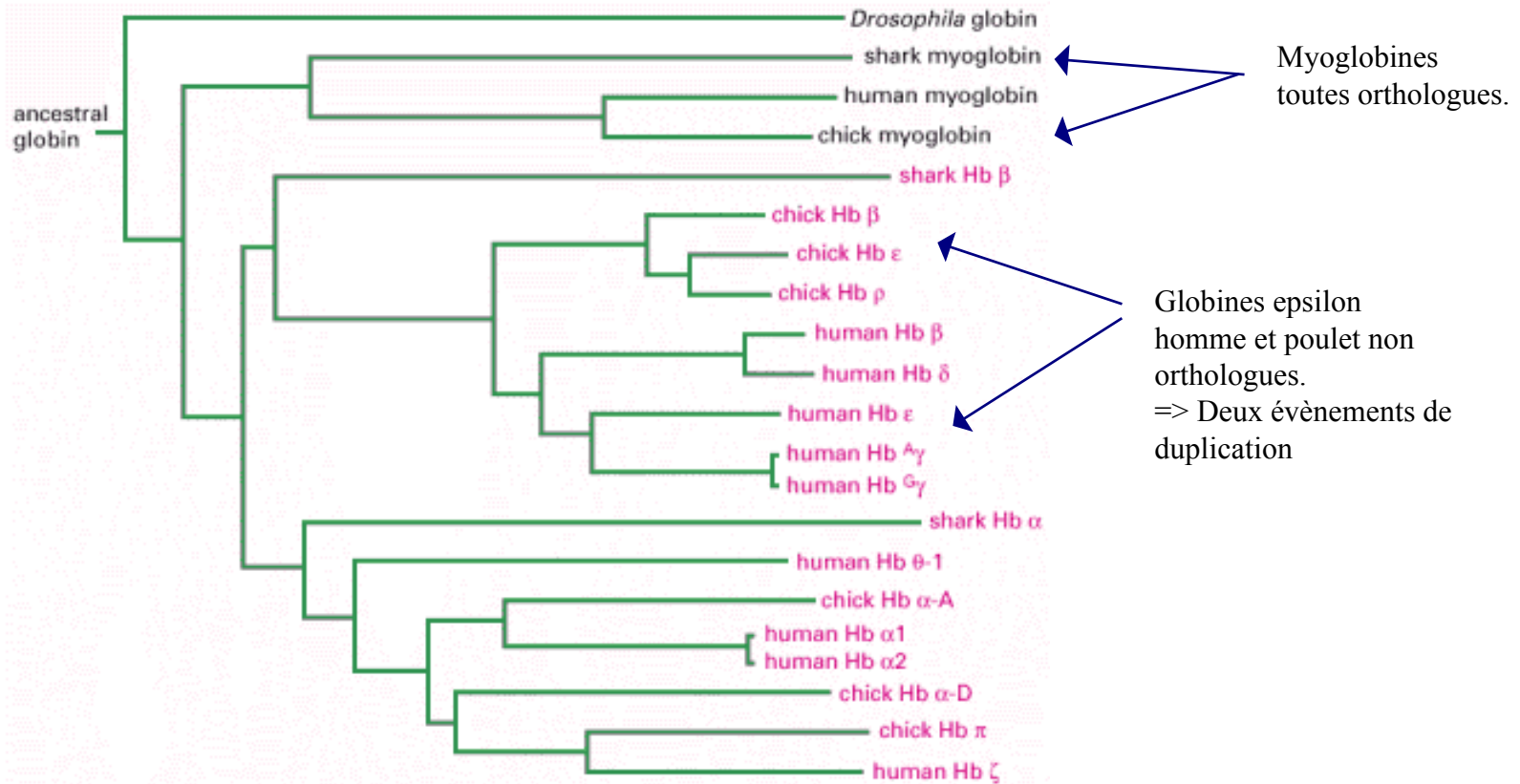
ARBRE SSU (rRNA
Small Subunit)

Transfert latéral gène X d'un ancêtre de B2 et B3 à un ancêtre de A2 et perte par A2 de l'homologue « résident » de X.



D'après F. Doolittle, TIBS, 24, 1999, M5-M8.

Les gènes de globine chez # espèces



L'horloge moléculaire

- ★ L'hypothèse de l'horloge moléculaire pose que les substitutions dans une séquence s'effectuent à taux constant
- ★ Le nombre de substitutions observées permettrait donc de connaître la date de divergence entre deux espèces
- ★ Il faut toutefois pouvoir calibrer l'horloge (à partir de données classiques de fossiles: p.ex homme/orang-outang = 13My)
- ★ Mais les horloges moléculaires sont plus ou moins rapides selon les organismes, ou même à l'intérieur d'un organisme, sous l'influence de:
 - Temps de génération
 - Systèmes de réparation
 - Pression de sélection (p.ex: région codante ou non)

Position 1,2 (syn) ou 3 (non-syn) des codons

★ Substitutions synonymes et non synonymes

- Non-syn: mutation plus lentes que syn
- On considère que la troisième position des codons n'est pas soumise à sélection, contrairement aux deux premières
- On peut utiliser la position 3 pour calibrer le nombre de mutations par unité de temps.

Les algorithmes de phylogénie moléculaire

Nombre d'arbres possibles

★ Pour un arbre sans racine..

Espèces	Arbres
3	1
4	3
5	15
6	105
10	2 027 025
20	2.21 x 10e20

Vers 12 feuilles, il devient impossible d'évaluer tous les arbres pour trouver le meilleur

Algorithmes fondés sur les distances

- ★ UPGMA
- ★ Neighbor Joining (NJ)

Algorithmes fondés sur les caractères

- ★ Parsimonie
- ★ Maximum de vraisemblance

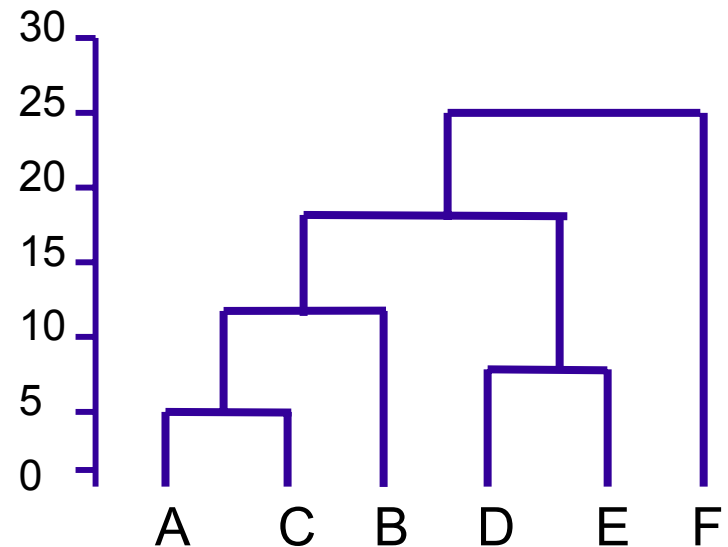
UPGMA

★ Considérons la matrice de distances :

- Regroupement des séquences les plus proches (ici $AC=4$)
- Recalcul de la matrice avec nouvelle entité remplaçant les deux séquences regroupées. Les nouvelles distances se calculent par moyenne (ici: $\text{moy}(Ax, Cx)$)

	A	B	C	D	E
B	5				
C	4	7			
D	7	10	7		
E	6	9	6	5	
F	8	11	8	9	8

Arbre avec racine. Distances non additives:



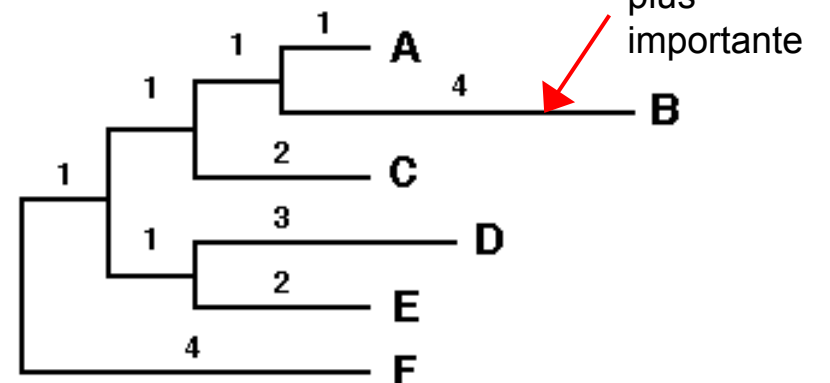
L'algorithme "Neighbor Joining" (NJ)

Saitou & Nei, 1986

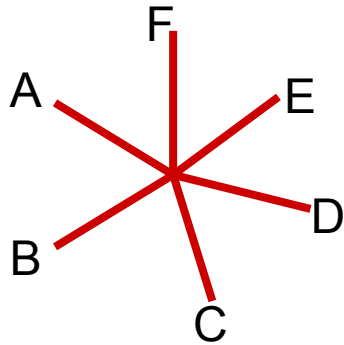
★ Les problèmes résolus par la méthode NJ:

- UPGMA ne fonctionne pas lorsque les vitesses d'évolution varient d'une branche à l'autre. Reprenons la matrice précédente:
- UPGMA placerait A avec C plutôt qu'avec B. Or, B est plus proche de A que de toute autre séquence. Explication: comme il a évolué rapidement, B se trouve plus éloigné de A que C de A. C'est l'arbre suivant qui devrait être produit.
- NJ regroupe les espèces en fonction de leur distance avec l'ensemble des autres espèces, et non pas de leur distance entre elles. Ce faisant, NJ minimise aussi la longueur totale des branches.
- Dans l'arbre UPGMA, les distances ne sont pas additives. Avec NJ, d_{ij} est proportionnel à la longueur totale des branches connectant i et j .

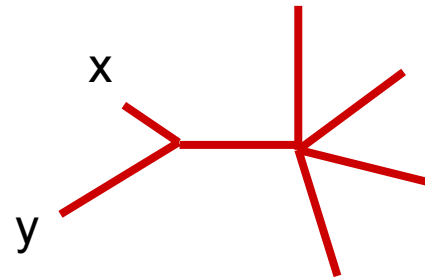
	A	B	C	D	E
B	5				
C	4	7			
D	7	10	7		
E	6	9	6	5	
F	8	11	8	9	8



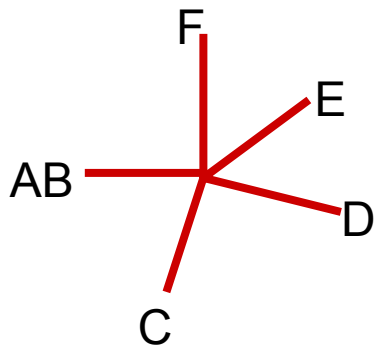
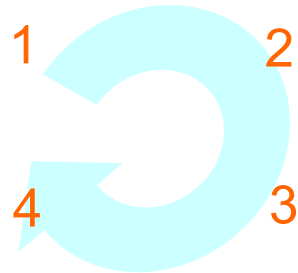
L'Algorithme NJ: principe



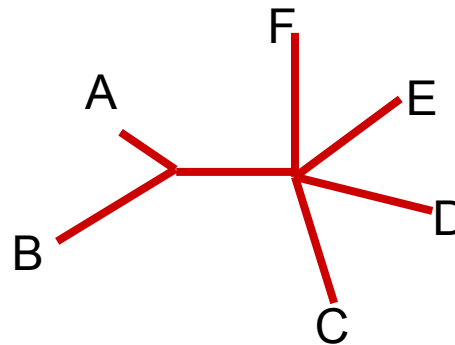
Toutes les espèces sont regroupées sur 1 noeud



2 séquences sont prises au hasard et jointes dans un nouveau noeud. La longueur totale des branches est recalculée. On reprend l'opération avec tous les couples de séquences



Les séquences jointes sont fusionnées en une nouvelle feuille et les distances sont recalculées. On reprend à l'étape 1.



Les séquences jointes sont celles qui minimisent la longueur totale des branches

Algorithme NJ (détail:1)

★ **Etape 1:** On appelle OTU (Operational Taxonomic Unit) une feuille ou un noeud de l'arbre. Au début, les OTU sont les espèces. On calcule la divergence nette $r(i)$ de chaque OTU avec toutes les autres

- $r(A) = 5+4+7+6+8=30$
- $r(B) = 42$
- $r(C) = 32$
- $r(D) = 38$
- $r(E) = 34$
- $r(F) = 44$

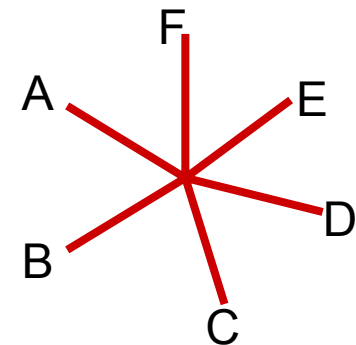
★ **Etape 2:** On calcule une nouvelle matrice de distance qui va donner pour chaque paire d'OTU la distance moyenne de cette paire avec tous les autres OTUs.

Formule:

- $M(ij)=d(ij) - [r(i) + r(j)]/(N-2)$ soit pour la paire A,B:
- $M(AB)=d(AB) - [r(A) + r(B)]/(N-2) = -13$

★ On crée maintenant un arbre en étoile:

	A	B	C	D	E
B	-13				
C	-11.5	-11.5			
D	-10	-10	-10.5		
E	-10	-10	-10.5	-13	
F	-10.5	-10.5	-11	-11.5	-11.5



Algorithme NJ (détail: 2)

★ **Etape 3:** On choisit comme voisins les 2 OTU pour lesquels M_{ij} est le plus petit. Ce sont A et B; ou D et E. Prenons A et B et créons un nouveau noeud appelé U. On calcule ensuite les longueurs des branches entre le noeud interne U et les OTU A et B.

- $d(AU) = d(AB) / 2 + [r(A) - r(B)] / 2(N-2) = 1$
- $d(BU) = d(AB) - d(AU) = 4$

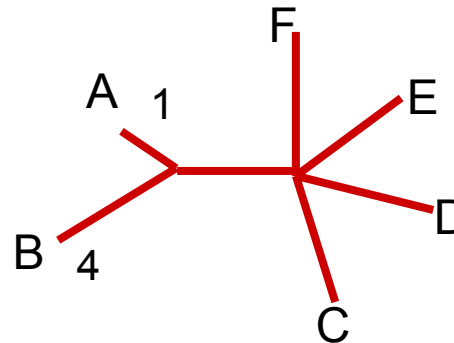
★ Puis les distance entre U et tous les autres noeud terminaux:

- $d(CU) = d(AC) + d(BC) - d(AB) / 2 = 3$
- $d(DU) = d(AD) + d(BD) - d(AB) / 2 = 6$
- $d(EU) = d(AE) + d(BE) - d(AB) / 2 = 5$
- $d(FU) = d(AF) + d(BF) - d(AB) / 2 = 7$

★ Ce qui crée la matrice ci contre

	U	C	D	E
C	3			
D	6	7		
E	5	6	5	
F	7	8	9	8

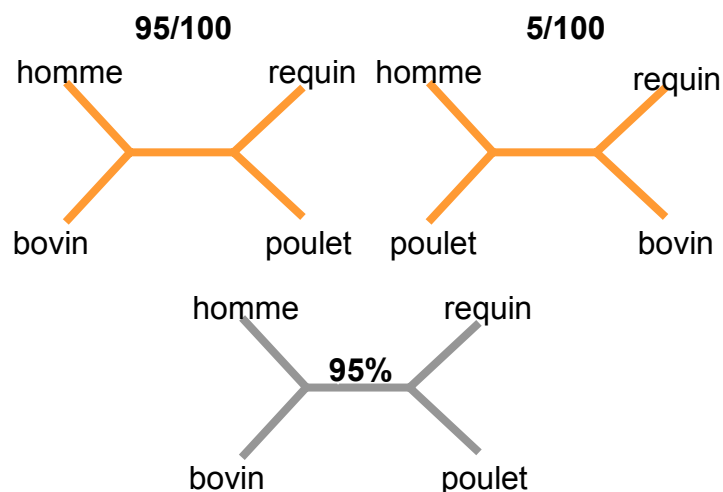
★ Il en résulte l'arbre ci contre



★ $N = N-1 = 5$
Puis on reprend à l'Etape 1

Le bootstrap

- ★ Les risques d'erreur dans la construction d'arbres sont multiples. Les distances sont évaluées sur un ensemble de sites (chaque position de l'alignement), mais ces sites peuvent se comporter différemment, avoir des origines différentes etc. Par conséquent, la matrice de distance comprend souvent des incohérences ou des situations mal résolues. Comment détecter ce genre de problème dans l'arbre produit?
- ★ Le bootstrap consiste à créer un pseudo-alignement en tirant au hasard un certain nombre de sites, puis à recalculer l'arbre. On réalise ainsi un grand nombre d'arbres (p. ex. 100) et on mémorise tous les arbres obtenus. Pour chaque branche de l'arbre initial, on note combien de fois cette branche est observée dans les arbres du bootstrap. Plus le nombre est élevé, plus cette branche est fiable.



Un protocole pour l'analyse fonctionnelle complète d'une protéine

- ★ Déterminer avec fiabilité la fonction d'une protéine d'après sa séquence demande l'application d'un protocole bien précis. On peut lire à ce sujet le papier de Bork et Koonin (Nature genetics, 1998, 18, 313). Les principaux points sont les suivants:
- ★ **1. Eléments structuraux**
- ★ L'identification des éléments suivants permet de s'assurer que les recherches d'homologies se déroulent sans artefact.
 - Régions de basse complexité (pour masquage)
 - Régions transmembranaires
 - Répétitions internes (ex: D1-D2-D1)
- ★ **2. Homologies**
- ★ C'est par homologie que l'on identifie les domaines/motifs fonctionnels de la protéine...
 - Identification de domaines connus (Prosite-Prodom)
 - Recherches itératives pour l'extension de la famille d'homologues
 - Manuellement (avec BLAST) ou automatiquement (avec PSI Blast)
 - PAM250 au lieu de BLOSUM62
 - Si protéine modulaire: masquer les domaines identifiés et lancer la recherche sur la partie restante.
 - Précautions essentielles: ne pas considérer que les meilleurs scores Blast, ne pas croire systématiquement les annotations, Tenir compte du contexte (par ex: pas de séquence signal dans un doigt de zinc)
- ★ **3. Synthèse**
 - Alignement multiple pour visualisation finale des domaines conservés/absents.
 - Vérifier la présence de paralogues (par ex: substrats différents). La meilleure approche est de réaliser l'arbre phylogénétique.

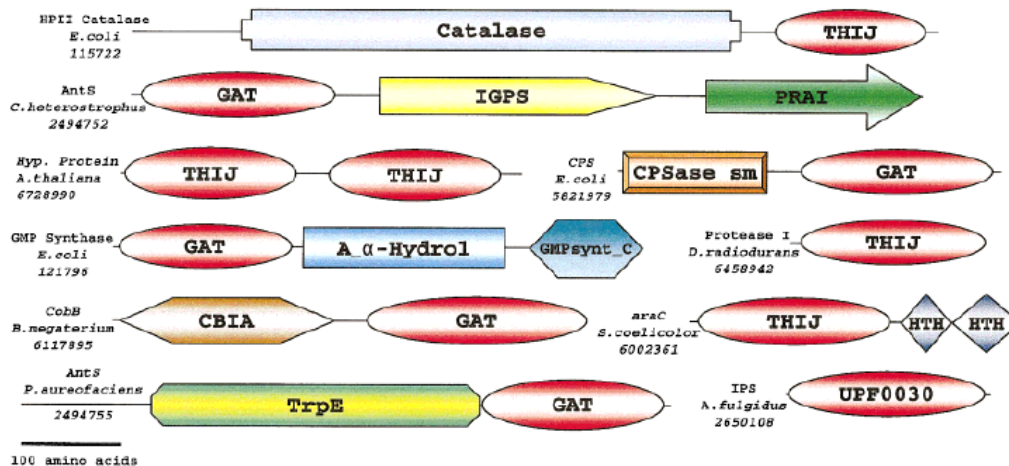
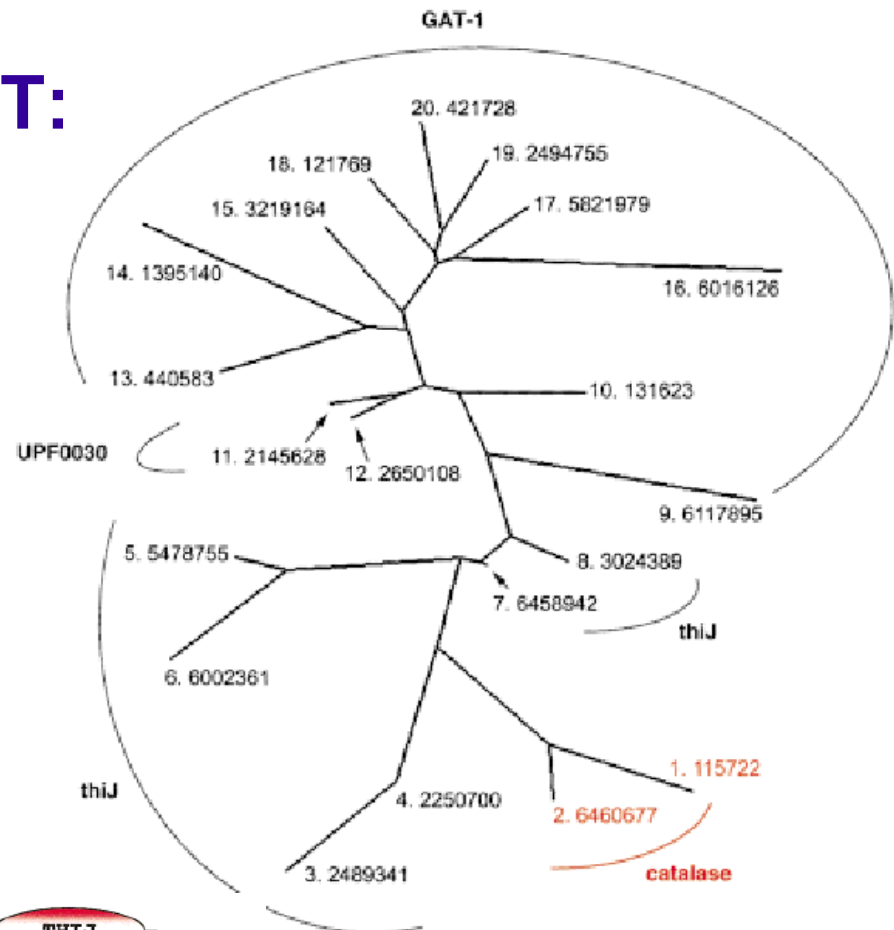
Exemple d'analyse bioinformatique: les Glutamine Aminotransferases (GAT)

Horvath & Grishin, Proteins, 2001

	A	B	C	D	E	F
catalases	1. CAT 115722	753	599	GRYVAILLNDEVR	----SADLLAILKALKAKGV	---HAKLLYSRM [14] ATFAGAPSLTVDAVIVPCGNIADIADN 678
	2. CAT 6460677	772	590	GRKVAVLVADGVD	----AAGVKALQDALKKADV	---KYDIVAPHL [10] ATLSNTDPVUYDGVVVVAGGAAAVRELA 662
	3. THI 2498341	270	35	NTNIAVVPFGCGW	[5] IHEAAVTMYHLSRNGA	---RFQIPAPNQ [37] NDLSKLDANSFPAVIVPGGHGIVKNMS 141
	4. THI 2250700	226	2	AARVALVLSGCGV	[5] IHEASAILVHLSRGGAA	---EVOIFAPDV [33] TDLANLSAANHDAIIFGGFGAAKNLS 144
thij protease domain	5. THI 5478755	189	3	SKRALVILAKGAE	----EMETVIVPDMRRA	GI---KVTVAGLAG [16] SLEBAKTQGPYDVVVLPGGNLGAQNLS 83
	6. THI 6002361	327	10	PHRVVVLVFDGKM	---LLDLSGPAEVPSEANR	[5] RLSIVSADG [12] ADTDARAAAAHDTLVVVVGGDALPGSFV 91
	7. THI 6458942	190	9	GKKIALLAADGVE	----EIELTSPRAAIEAAG	---TTELIISLEP [19] HUVSEVQVSDYDGLLLPGGTVNPDKLR 92
	8. THI 3024389	166	1	-MKILFLSANEF	----DVELIYPYHRLKEEGH	---EVIYASFEK [14] LTFDEVNPFEDDALVLPGGRAPERVRL 78
	9. GAT 6117895	486	287	RRRVAMASCAAF	----TFSYAHEPELLAAA	CA---EVTTFDP-----LRDEELPECTQGLVICGGFPEVYSE 347
Uncharacterized protein domain	10. GAT 131623	227	2	KFAVIVLPGSNC	----DIDMYHAVKDELGH	---EVEYVWH-----EETSLDGFGLVLLPGGFSYGDYLR 58
	11. UPF 2145628	219	24	FPRVGLALQG	-----DTREHLTALREA	GA---DSMPVRR-----RGELEVDALVIPGGESTTISHL 78
	12. UPF 2650108	198	1	-MKVAVVGVQGDV	---EEHVLATKRALKR	LGID---DGEVVAT-----RRRGVNRSDAVILPGGESTTISKL 60
	13. GAT 440583	579	303	TVKIRLVGKYTNL	---KDSYLSVIKALEHSSM	[6] DIKWVEATD [12] PHEAMMNSTADGILLIPGGFCVRCGT-- 383
	14. GAT 1395140	242	2	SKRFALLWCSEEB	[1] FDYREEMVNAFKTENS	---DWEVISAF-----TDLNKIIDNYDGFVISGSEYSPNADK 65
	15. GAT 3219164	593	61	DSVVTLLDYGAG	---NVRSIRNALRHLGF	---SIKDVCT-----PGDILNADRLIPGVPFAPALMD 116
	16. GAT 6016126	326	32	QTGVWYSDHPGNG	[11] PSIAASYVKLABSGCA	---FVILPLFNEP---GEILFQKLELVNGVILTGWAKBGLY- 107
Glutamine amidotransferase	17. GAT 5821979	382	191	PFHVAYDFGA	-----KRNILRMLVDRGC	---RLTIVPAQ-----TSAEDVLKMNPDGIFLSNGPGDPAPC- 248
	18. GAT 121769	525	7	KHRILILDGFG	-----QYTQLVARVRELGV	---YCELWAWD-----VTEAQIRDPNPQIILSGGPESTTE-- 65
	19. GAT 2494755	637	435	GRQVLIVDAEDT	-----FTSMIAKQIRALGL	---VVTVCSEF-----SDEYSFEGYDLVIMGPGPGNPSEVQ 492
	20. GAT 421728	195	1	MDLTLIIDNYD	-----SFVYNIQIVGELCS	---YPIVIRNDE---ISIKGIERIDPDLRIISPGPCTPEKRE 62
	CONSENSUS SS βa αA βb αB βc					
	A	B	D	E	F	
	1. CAT 115722	679	-----GDANYYLMEAKHL	---KPIALAGDARKPK-ATI	[8] --GIVEAD-SA-D-----GSFMDLELLTMAAH-- 739	
	2. CAT 6460677	663	---QHPSFNFVVCYSYRHA	---KPIGSLGCGAEIV-TGS	[8] --VAADSP-AK-D----GATAPVQNLSVAVGVRLA 729	
	3. THI 2498341	142	[10]-NNPVERVLKDFPHR	---KPIGLSSMAPLLACRVL	-----PSLEVTMGYERDESSRWGRWPNTMMVQAVKSMGA 218	
	4. THI 2250700	145	[10]-VNKEVERVLKDFHQAG	---KPIGLCIAPVLAAKVL	-----RGVEVTVGHEQEE---GGKWPYAGTAAEIKALGA 218	
	5. THI 5478755	84	---ESALVKEILKEQENRK	---GLIAAICAGPTALLAHE	[31] KDGLILTSRGGFTS-----FEFALAIVEALS 187	
	6. THI 6002361	92	---DPVLGAAAKELAERA	---GRVASVCTGAPVVGAA-	[34] KDCSTYTSACVTAG-----IDLALALLEEDHG 237	
	7. THI 6458942	93	---LEEGAMKFVRDMYDAG	---KPIAATCGPWSLSETG	[30] TDKGVVTSRKPDDL-----PAPNKKIVEEF 182	
	8. THI 3024389	79	---NEKAVEIARKMPTFG	---KPVATICGHPQILISAG	[31] VDGNNVSSRHPGDL-----YAWMREFVLLK- 166	
	9. GAT 6117895	348	[2] ANEGLRKSVAELAFSG	---APVAECAGLLYLREL	[71] ERGVHASYTHT-HWA---AEPGVARRFVERCRT 485	
Asp/asn/gln cap of Rossmann crossover helix B	10. GAT 131623	59	[5] RFANIMPVAKQAAEAG	---KPVIGVNGFQILOELG	[88] KGNVLGMMPHP-ERAV-DELLGSADGLKLFQSIK 217	
	11. UPF 2145628	79	[1] LDCELLBPLRLARADG	---LPAYGACTGMILLASEI	[76] QGSMLATAPHP-EMT-----SDRRIHQLFVDIVN 216	
	12. UPF 2650108	61	[1] FSDGIADLILQLAEEG	---KPVMGTCAGLILLSKY-	[75] QKNVLGLAPHP-ELT-----DDTRIHEFFLKLGE 196	
	13. GAT 440583	384	---ECMVLAAARWARENH	---IPPLGVCLQLQIATIEF	[111] HPVYIATQVHP-DEYTS-KVLDPSKPFGLVVAASAG 558	
	14. GAT 1395140	66	[1] KFSGLFEPFIRAVHKKE	---KPIVGLICFGCQSLAVAL	[69] GPYANGICGHP-ELIS---KKTLEQDFLRVHLEDGN 199	
	15. GAT 3219164	117	[2] NRTCMAEALCKYIEND	---RPFLGICLGLQLIDSS	[85] RCNVHAVORHP-EKS---CEVGLSVLRRFLHPKLP 267	
	16. GAT 6016126	108	---PEYVKAALNKVLERN	[5] PPTAYALCLGFEELITML	[92] KYPVTGFQWHP-EKN [12] -EDAIQVTOQHAANHLV 278	
	17. GAT 5821979	249	---DYATTAQKELFTB	---TPVFGICLGHQLLALAS	[62] DKPAPSPFQHP-EASP-GPHDAAFLFDHPFELTEQ 376	
	18. GAT 121769	66	---ENSPRAPQYVFEAG	---VPVFGVCGMGTMMAMQL	[75] EKRFGYVQHP-EVT--HTRQGNRMLERFVLDI-- 201	
Triade catalytique	19. GAT 2494755	493	[2] KINHHLVAIRSLLSQQ	---RPFLAVCLSHQVLSLCL	[62] GSPFASMQBHA-ESL--LTQEGPRIADLLRHALI 623	
	20. GAT 421728	63	---DIGVSLDVIKYLGKR	---TFILGVCLGHQAIGYAF	[44] EYPTIYGVQHP-ESV--GTSLSGKYLLYNFLNRV-- 195	
	CONSENSUS SS αC βd αD βe αE					

1, Escherichia coli HPII catalase; 2, D. radiodurans HPII catalase; 3, Danio rerio ES1; 4, Homo sapiens KNCPL1-a; 5, Rattus norvegicus SP22; 6, S. coelicolor AraC; 7, D. radiodurans protease I; 8, P. furiosus PfpI protease I; 9, S. coelicolor CobB; 10, Bacillus subtilis FGAM synthase I; 11, Mycobacterium leprae amidotransferase HisH; 12, A. fulgidus imidazole glycerol-phosphate synthase subunit H; 13, Saccharomyces cerevisiae CTP synthase; 14, Acinetobacter sp. aniline dioxygenase; 15, Arabidopsis thaliana glutamine amidotransferase; 16, A. thaliana g-glutamyl hydrolase precursor; 17, E. coli carbamoyl phosphate synthetase; 18, E. coli GMP synthase; P. aureofaciens AntS; S. sulfataricus AntS.

Arbre des GAT:



Organisation des domaines (de l'importance de séparer les domaines pour l'analyse)